

14998.230
IN THE UNITED STATES PATENT AND TRADEMARK OFFICE
Applicants : Kazuhiko Aikawa et al
Serial No. : To Be Assigned
Filed : Herewith
For : OPTICAL FIBER AND OPTICAL TRANSMISSION
SYSTEM
Art Unit : N/A
Examiner : N/A

August 9, 2000
Assistant Commissioner for Patents
Washington, D.C. 20231

TRANSMITTAL OF PRIORITY DOCUMENT
Sir:
Transmitted herewith is a certified copy of the
following patent application, the foreign priority of which
has been claimed under 35 USC 119:

Japanese Patent Appl No 11-228904, Filed 8/12/99
Japanese Patent Appl No 2000-012259, Filed 1/20/00

It is submitted that this certified copy satisfies
all of the requirements of 35 USC 119, and the right of
Hd
10/22/00
M. ruger

14998.230
IN THE UNITED STATES PATENT AND TRADEMARK OFFICE
Applicants : Kazuhiko Aikawa et al
Serial No. : To Be Assigned
Filed : Herewith
For : OPTICAL FIBER AND OPTICAL TRANSMISSION
SYSTEM
Art Unit : N/A
Examiner : N/A

August 9, 2000
Assistant Commissioner for Patents
Washington, D.C. 20231

TRANSMITTAL OF PRIORITY DOCUMENT
Sir:
Transmitted herewith is a certified copy of the
following patent application, the foreign priority of which
has been claimed under 35 USC 119:

Japanese Patent Appl No 11-228904, Filed 8/12/99
Japanese Patent Appl No 2000-012259, Filed 1/20/00

It is submitted that this certified copy satisfies
all of the requirements of 35 USC 119, and the right of
Hd
10/22/00
M. ruger

foreign priority should therefore be accorded to the present application.

Respectfully submitted,

CHADBOURNE & PARKE LLP

By: 
Francis Montgomery
Reg. No. 41,202

30 Rockefeller Plaza
New York, NY 10112
(212) 408-1075

I hereby certify that this correspondence
is being deposited with the United States
Postal Service with sufficient postage as
first class mail in an envelope addressed
to: Assistant Commissioner for Patents,
Washington, D.C. 20231
on August 9, 2000

By: 
Francis Montgomery

05P-9131 32

US
09/635109
JC896 U.S. Pat. & Tm. Off.
08/09/00



日本国特許庁

PATENT OFFICE
JAPANESE GOVERNMENT

別紙添付の書類に記載されている事項は下記の出願書類に記載されている事項と同一であることを証明する。

This is to certify that the annexed is a true copy of the following application as filed with this Office.

出願年月日

Date of Application:

1999年 8月12日

出願番号

Application Number:

平成11年特許願第228904号

出願人

Applicant(s):

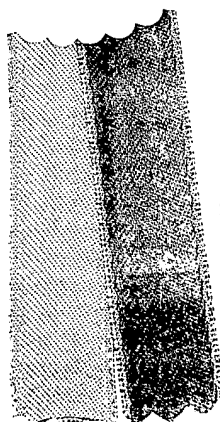
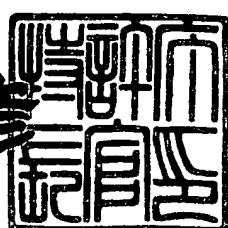
株式会社フジクラ

CERTIFIED COPY OF
PRIORITY DOCUMENT

2000年 3月24日

特許庁長官
Commissioner,
Patent Office

近藤 隆彦



【書類名】 特許願
【整理番号】 990164
【提出日】 平成11年 8月12日
【あて先】 特許庁長官 殿
【国際特許分類】 G02B 6/00
【発明の名称】 光ファイバおよび光伝送システム
【請求項の数】 7
【発明者】
【住所又は居所】 千葉県佐倉市六崎1440番地 株式会社フジクラ 佐倉事業所内
【氏名】 愛川 和彦
【発明者】
【住所又は居所】 千葉県佐倉市六崎1440番地 株式会社フジクラ 佐倉事業所内
【氏名】 鈴木 孝至
【発明者】
【住所又は居所】 千葉県佐倉市六崎1440番地 株式会社フジクラ 佐倉事業所内
【氏名】 和田 朗
【発明者】
【住所又は居所】 千葉県佐倉市六崎1440番地 株式会社フジクラ 佐倉事業所内
【氏名】 山内 良三
【特許出願人】
【識別番号】 000005186
【氏名又は名称】 株式会社フジクラ
【代理人】
【識別番号】 100064908
【弁理士】

【氏名又は名称】 志賀 正武

【選任した代理人】

【識別番号】 100108578

【弁理士】

【氏名又は名称】 高橋 詔男

【選任した代理人】

【識別番号】 100089037

【弁理士】

【氏名又は名称】 渡邊 隆

【選任した代理人】

【識別番号】 100101465

【弁理士】

【氏名又は名称】 青山 正和

【手数料の表示】

【予納台帳番号】 008707

【納付金額】 21,000円

【提出物件の目録】

【物件名】 明細書 1

【物件名】 図面 1

【物件名】 要約書 1

【包括委任状番号】 9704943

【プルーフの要否】 要

【書類名】 明細書

【発明の名称】 光ファイバおよび光伝送システム

【特許請求の範囲】

【請求項1】 中心コア部と、その外周上に設けられた該中心コア部よりも低屈折率の中間部と、該中間部の周囲に設けられた該中間部よりも高屈折率で、前記中心コア部よりも低屈折率のクラッドとを有する屈折率分布形状を備え、

1. $5.3 \sim 1.61 \mu\text{m}$ から選択される使用波長帯において、有効コア断面積が $140 \mu\text{m}^2$ 以上であり、かつ前記使用波長帯において、実質的にシングルモード伝搬可能なカットオフ波長を有することを特徴とする光ファイバ。

【請求項2】 請求項1に記載の光ファイバにおいて、曲げ損失が 20 dB/m 以下であることを特徴とする光ファイバ。

【請求項3】 請求項1または2に記載の光ファイバにおいて、中心コア部の半径を r_1 、中間部の半径を r_2 としたとき、 $3.0 \leq r_2/r_1 \leq 5.0$ であり、

クラッドの屈折率を基準としたときの中心コア部と中間部の比屈折率差をそれぞれ Δ_1 、 Δ_2 としたとき、 Δ_1 が 0.26% 以下、 Δ_2 が $-0.05 \sim -0.15\%$ であることを特徴とする光ファイバ。

【請求項4】 請求項1または2に記載の光ファイバにおいて、中間部とクラッドとの間に、該中間部と該クラッドよりも高屈折率で、かつ中心コア部よりも低屈折率のリングコア部が設けられていることを特徴とする光ファイバ。

【請求項5】 請求項4に記載の光ファイバにおいて、中心コア部の半径を r_1 、中間部の半径を r_2 、リングコア部の半径を r_3 としたとき、 $3.0 \leq r_2/r_1 \leq 4.0$ 、かつ $4.0 \leq r_3/r_1 \leq 5.0$ であり、

クラッドの屈折率を基準としたときの中心コア部と中間部とリングコア部の比屈折率差をそれぞれ Δ_1 、 Δ_2 、 Δ_3 としたとき、 Δ_1 が 0.35% 以下、 Δ_2 が $0 \sim -0.2\%$ 、 Δ_3 が $+0.05 \sim +0.2\%$ であることを特徴とする光ファイバ。

【請求項6】 請求項1～5のいずれか一項に記載の光ファイバの光信号の出射側に、この光ファイバの波長分散値と分散スロープのどちらか一方、あるいは

は両方を補償する分散補償光ファイバを配置したことを特徴とする光ファイバ伝送システム。

【請求項7】 請求項6に記載の光伝送システムにおいて、光ファイバと、分散補償光ファイバとを合成したときの平均波長分散値が $-6 \sim +6 \text{ p s/nm}$ ／kmであることを特徴とする光伝送システム。

【発明の詳細な説明】

【0001】

【発明の属する技術分野】

本発明は光ファイバおよびこれを用いた光伝送システムに関し、特に比較的容易な構造で、1.53～1.61μmから選択される使用波長帯における有効コア断面積を拡大し、非線形効果の抑制を可能とした光ファイバとこれを用いた光伝送システムに関する。

【0002】

【従来の技術】

エルビウム添加光ファイバ増幅器が実用化されたことによって、波長1.53～1.61μmにおいては、超長距離無再生中継などのシステムが既に商用化されている。また、通信容量の増大に伴い、波長多重伝送の開発が急速に進められ、既にいくつかの伝送路では商用化されている。今後は波長多重数の増加が急速に進むと考えられる。

【0003】

波長多重伝送においては、1本の光ファイバに波長の異なるいくつも光信号を伝送させるため、光ファイバを伝搬する光パワーが急激に増加する。そのため、非線形効果を抑制して伝送特性の劣化を防ぐ技術が必須である。

非線形効果の大きさは、 n_2/A_{eff} で表される。ここで n_2 は、光ファイバの非線形屈折率、 A_{eff} は光ファイバの有効コア断面積であって、非線形効果を抑制するためには、 n_2 を小さくするか A_{eff} を大きくする必要がある。

n_2 は材料に固有の値であるため、石英系の光ファイバにおいては大きく低減することが困難である。そのため、 A_{eff} を拡大する必要があり、種々の複雑な屈折率分布形状を有するものが開発されているが、いずれも高コストである。

【0004】

一方、従来の通信システムには1.3μm用シングルモード光ファイバが多用されている。

しかしながら、1.3μm用シングルモード光ファイバは、使用波長帯を1.53～1.61μmに設定すると曲げ損失が大きくなり、敷設時などに生じるわずかな曲がりなどによっても伝送損失が劣化するという問題があった。

そこで、1.3μm用シングルモード光ファイバを改良して曲げ損失を低減したカットオフシフト光ファイバ（CSF）が提案されている。

しかしながら、カットオフシフト光ファイバは非線形効果の低減を目的としていないため、そのAeffは非線形効果を抑制できるほど大きいものではない。

【0005】

【発明が解決しようとする課題】

本発明は前記事情に鑑みてなされたもので、1.53～1.61μmから選択される使用波長帯において、Aeffの拡大を図ることができる光ファイバを提供することを課題とする。

さらには、比較的簡単な屈折率分布形状を有し、低成本で製造可能な光ファイバを提供することを課題とする。

【0006】

【課題を解決するための手段】

前記課題を解決するために、本発明の第1の発明の光ファイバは、中心コア部と、その外周上に設けられた該中心コア部よりも低屈折率の中間部と、該中間部の周囲に設けられた該中間部よりも高屈折率で、前記中心コア部よりも低屈折率のクラッドとを有する屈折率分布形状を備え、1.53～1.61μmから選択される使用波長帯において、有効コア断面積が140μm²以上であり、かつ前記使用波長帯において、実質的にシングルモード伝搬可能なカットオフ波長を有することを特徴とする。

第2の発明は、第1の発明の光ファイバにおいて、曲げ損失が20dB/m以下であることを特徴とする。

第3の発明は、第1または第2の発明の光ファイバにおいて、中心コア部の半

径を r_1 、中間部の半径を r_2 としたとき、 $3.0 \leq r_2/r_1 \leq 5.0$ であり、

クラッドの屈折率を基準としたときの中心コア部と中間部の比屈折率差をそれぞれ Δ_1 、 Δ_2 としたとき、 Δ_1 が 0.26% 以下、 Δ_2 が $-0.05 \sim -0.15\%$ であることを特徴とする光ファイバである。

第4の発明は、第1または2の発明の光ファイバにおいて、中間部とクラッドとの間に、該中間部と該クラッドよりも高屈折率で、かつ中心コア部よりも低屈折率のリングコア部が設けられていることを特徴とする光ファイバである。

第5の発明は、第4の発明の光ファイバにおいて、中心コア部の半径を r_1 、中間部の半径を r_2 、リングコア部の半径を r_3 としたとき、 $3.0 \leq r_2/r_1 \leq 4.0$ 、かつ $4.0 \leq r_3/r_1 \leq 5.0$ であり、クラッドの屈折率を基準としたときの中心コア部と中間部とリングコア部の比屈折率差をそれぞれ Δ_1 、 Δ_2 、 Δ_3 としたとき、 Δ_1 が 0.35% 以下、 Δ_2 が $0 \sim -0.2\%$ 、 Δ_3 が $+0.05 \sim +0.2\%$ であることを特徴とする光ファイバである。

第6の発明は、第1～5の発明のいずれかひとつの光ファイバの光信号の出射側に、この光ファイバの波長分散値と分散スロープのどちらか一方、あるいは両方を補償する分散補償光ファイバを配置したことを特徴とする光ファイバ伝送システムである。

第7の発明は、第6の発明の光伝送システムにおいて、光ファイバと、分散補償光ファイバとを合成したときの平均波長分散値が $-6 \sim +6 \text{ p s/nm/km}$ であることを特徴とする光伝送システムである。

【0007】

【発明の実施の形態】

本発明の光ファイバの使用波長帯は $1.53 \sim 1.61 \mu\text{m}$ の範囲から選択される。例えば、通信システムを構築するエルビウム添加光ファイバ増幅器の増幅波長帯によって、 $1.53 \sim 1.57 \mu\text{m}$ 、あるいは $1.57 \sim 1.61 \mu\text{m}$ などが適宜選択される。

【0008】

A_{eff} は以下の式から求められるものである。

【0009】

【数1】

$$A_{\text{eff}} = \frac{2\pi \left\{ \int_0^{\infty} a |E(a)|^2 da \right\}^2}{\int_0^{\infty} a |E(a)|^4 da}$$

a:コアの半径

E(a):半径aでの電界強度

【0010】

本発明においては、 A_{eff} が $140 \mu\text{m}^2$ 未満であると、非線形効果の抑制が不十分である。 A_{eff} の上限値は特に限定しないが、実質的に製造可能な範囲としては $250 \mu\text{m}^2$ 以下とされる。

【0011】

曲げ損失は、使用波長帯において曲げ直径（2R）が 20mm の条件の値をいうものとする。

曲げ損失特性は、光ファイバをケーブル化したり、光ファイバケーブルを使用する環境によって決定されるべきである。例えばテープ型の光ファイバをタイトな構造体の中に埋め込むような場合には、望ましくは 20dB/m 以下の範囲が選択されるが、いわゆるルーズチューブ型の光ケーブルの場合は、それ程大きな力は印加されないので、 100dB/m 以下程度であれば許容される。

【0012】

曲げ損失を低減するためには、カットオフ波長をできるだけ長波長側にシフトさせると好ましい。

また、本発明の光ファイバはシングルモード光ファイバであるため、使用波長帯において、実質的にシングルモード伝搬を保証するカットオフ波長を有する必要がある。

通常のカットオフ波長は、CCITTの2m法（以下2m法と記す）による値

によって規定されている。しかし、実際の長尺の使用状態においては、この値が使用波長帯の下限値よりも長波長側であってもシングルモード伝搬が可能である。

【0013】

したがって、本発明の光ファイバにおいて、2m法で規定されるカットオフ波長は、光ファイバの使用長さと使用波長帯によってシングルモード伝搬可能であるように、かつできるだけ曲げ損失を低減できるように長波長側に設定する。具体的には、例えば2m法におけるカットオフ波長が1.7μm以下であれば、5000m程度以上の長尺の状態で、使用波長帯1.53～1.61μmの使用波長帯におけるシングルモード伝搬を実現することができる。

【0014】

このような特性を有するためには、図1あるいは図3に示したような屈折率分布形状（屈折率プロファイル）を有することが必要である。

図1に示した第1の例の屈折率分布形状は、中心コア部1と、その外周上に設けられたこの中心コア部1よりも低屈折率の中間部2と、その外周上に設けられた、この中間部2よりも高屈折率で、前記中心コア部1よりも低屈折率のクラッド4とを有するものである。

【0015】

この光ファイバにおいて、例えば中心コア部1は屈折率を上昇させる作用を有するゲルマニウムを添加した石英ガラス、中間部2は屈折率を低下させる作用を有するフッ素を添加した石英ガラスあるいは純石英ガラス、クラッド4は純石英ガラス、あるいは屈折率を上昇させる作用を有する塩素を添加した石英ガラスから構成されている。

この光ファイバは、例えばVAD法などによって製造することができる。

【0016】

また、中心コア部1の半径を r_1 、中間部2の半径（コア半径）を r_2 としたとき、 $3.0 \leq r_2/r_1 \leq 5.0$ であると好ましい。 r_2/r_1 が3.0未満の場合は、光の電磁界が中間部2をこえてクラッド4に到達しやすくなるので曲げ損失が増加する傾向がある。また、 r_2/r_1 が5.0をこえる場合は中間部2

を設けた効果が低減し、コアへの光の電磁界の閉じこめが強くなりすぎるので、
Aeff 拡大の効果が減少する傾向がある。

また、カットオフ波長は r_1 の値を拡大することによって長波長側にシフトさせることができ。上述のようにカットオフ波長は光ファイバの使用長さと使用波長帯によって設定されるため、一概に r_1 の数値範囲を示すことはできないが、通常 r_1 は 5~20 μm の範囲から選択される。

また、クラッド4の外径は通常約 125 μm とされる。

【0017】

また、クラッドの屈折率を基準としたときの中心コア部と中間部の比屈折率差をそれぞれ Δ_1 、 Δ_2 としたとき、 Δ_1 が 0.26% 以下、 Δ_2 が -0.05~ -0.15% であると好ましい。

Δ_1 が 0.26% をこえると、Aeff を拡大することが困難となる。また、 Δ_2 が -0.05 よりも大きくなると (Δ_2 の絶対値が小さくなると) 曲げ損失が大きくなり、-0.15% よりも小さくなると (Δ_2 の絶対値が大きくなると) Aeff が小さくなる傾向がある。

【0018】

図2は、 Δ_2 を -0.05%、 r_2/r_1 を 4.0 に固定し、2m法によるカットオフ波長を 1.3~1.7 μm の範囲で 0.1 μm きざみで変化させたときの使用波長 1.55 μm における Aeff および曲げ損失の変化を示したグラフである。

r_1 の値が小さく、カットオフ波長が短波長にシフトする程、Aeff が小さく、曲げ損失が大きくなる傾向がある。一方、 r_1 の値が大きく、カットオフ波長が長波長にシフトする程、Aeff が大きく、曲げ損失が小さくなる傾向がある。

グラフに示された直線は、 Δ_1 の値ごとにまとめられている。 Δ_1 は 0.18~0.24% の範囲において、0.02% 間隔で設定されている。

そして、Aeff においては、 Δ_1 が大きくなる程小さくなる傾向がある。

曲げ損失においては、 Δ_1 が大きくなる程小さくなる傾向がある。

【0019】

このように、 Δ_2 、 r_2/r_1 、使用波長の値を設定し、 r_1 の値を変化させたグラフより、本発明におけるAeff、曲げ損失、カットオフ波長の条件を満足する各構造パラメータを選択することによって、図1に示した屈折率分布形状を有し、かつ本発明の条件を満足する光ファイバを設計することができる。

したがって、図1に示した屈折率分布形状を有し、かつ、上述の r_2/r_1 、 Δ_1 、 Δ_2 の好ましい数値範囲を満足していたとしても、必ずしも上述のようなAeff、曲げ損失、カットオフ波長の特性を満足するものが得られるわけではなく、本発明の光ファイバの特性は、これらの構造パラメータの適切な組み合わせによって実現されるものである。

そのため、本発明においては、これらの構造パラメータの数値範囲から発明を特定することが困難であり、屈折率分布形状と、光ファイバの特性値によって発明を特定する。このようなものは従来実現できなかったことは言うまでもない。

【0020】

図3は、本発明の光ファイバの屈折率分布形状の第2の例を示したものである。

この屈折率分布形状が図1に示した第1の例の屈折率分布形状と異なるところは、中間部2とクラッド4との間にリングコア部3が設けられている点である。このような屈折率分布形状を一般にリング付プロファイルという場合がある。

このリングコア部3の屈折率は、中間部2とクラッドより4よりも高屈折率で、かつ中心コア部1よりも低屈折率である。

【0021】

この光ファイバにおいて、例えば中心コア部1とリングコア部3はゲルマニウム添加石英ガラス、中間部2はフッ素添加石英ガラスあるいは純石英ガラス、クラッド4は純石英ガラスあるいは塩素添加石英ガラスから構成されている。

この光ファイバも、第1の例と同様に、例えばVAD法などによって製造することができる。

【0022】

この例において、リングコア部3の半径（コア半径）を r_3 としたとき、 $3.0 \leq r_2/r_1 \leq 4.0$ 、かつ $4.0 \leq r_3/r_1 \leq 5.0$ であると好ましい。 r_2

r_1/r_1 が 3.0 未満の場合は、光の電磁界分布が中間部 2 を越えて容易にリングコア部 3 に到達するため、曲げ損失が増加する傾向がある。また、 r_2/r_1 が 4.0 をこえる場合はコア内の光の閉じこめが強くなりすぎて、中間部 2 を設けた効果が低減し、Aeff の拡大効果が低減する傾向がある。また、 r_3/r_1 が 4.0 未満であると、リングコア部 3 を設けた効果が低減し、Aeff の拡大効果が低減する傾向がある。また、 r_3/r_1 が 5.0 をこえる場合は曲げ損失が増加する傾向がある。

また、上述のように、カットオフ波長は r_1 の値を拡大することによって長波長側にシフトさせることができ、この例において、通常 r_1 は 5~20 μm の範囲から選択される。

また、クラッド 4 の外径は通常約 125 μm とされる。

【0023】

また、この例において、クラッドの屈折率を基準としたときのリングコア部の比屈折率差を Δ_3 としたとき、 Δ_1 が 0.35% 以下、 Δ_2 が 0~-0.2%、 Δ_3 が +0.05~+0.2% であると好ましい。

Δ_1 が 0.35% をこえると、Aeff を拡大することが困難となる。また、 Δ_2 が -0.2% よりも小さくなると (Δ_2 の絶対値が大きくなると) Aeff が小さくなる傾向がある。 Δ_3 が +0.05 未満であると、リングコア部 3 を設けた効果が低減し、Aeff の拡大効果が低減する傾向がある。 Δ_3 が +0.2% をこえると、曲げ損失が増加する傾向がある。

【0024】

しかしながら、第 1 の例と同様に、図 3 に示した屈折率分布形状を有し、かつ、上述の r_2/r_1 、 r_3/r_1 、 Δ_1 、 Δ_2 、 Δ_3 の好ましい数値範囲を満足していたとしても、必ずしも上述のような Aeff、曲げ損失、カットオフ波長の特性を満足するものが得られるわけではなく、本発明の光ファイバの特性は、これらの構造パラメータの適切な組み合わせによって実現されるものである。

【0025】

本発明においては、図 1、図 3 に示したような比較的簡単な構造の屈折率分布形状を有する光ファイバにおいて、その構造パラメータを適切に調整することに

よって、 A_{eff} を拡大し、かつ曲げ損失を低減し、かつ $1.53 \sim 1.61 \mu m$ から選択される使用波長帯においてシングルモード伝搬可能となるカットオフ波長を有する光ファイバを、低成本で提供することができる。

その結果、 $1.53 \sim 1.61 \mu m$ から選択される使用波長帯において、非線形効果を抑制して伝送損失の劣化を防ぐことができるとともに、敷設時などに光ファイバに付与されるマイクロバンドによっても伝送損失が劣化しにくく、かつシングルモード伝搬を保証できる光ファイバを提供することができる。

【0026】

また、本発明の光ファイバは、いわゆる分散補償光ファイバと組み合わせて光伝送システムを構築することができる。この光伝送システムの使用波長帯は、上述した本発明の光ファイバの使用波長帯と同様である。

分散補償光ファイバは、伝送路の大部分を構成する光ファイバの波長分散値に対して、異なる符号であって、かつ絶対値が大きな波長分散値を有するものである。また、分散スロープも同様に、伝送路の大部分を構成する光ファイバの分散スロープに対して、異なる符号であって、かつ絶対値が大きな値を有するものもある。

分散スロープは、横軸に波長、縦軸に波長分散値をとて波長分散値をプロットして得られた曲線の勾配であって波長分散値の波長依存性を表す指標である。分散スロープが大きいと、波長多重伝送のように複数の異なる波長の光信号を伝送する場合は、各波長間での伝送状態がばらつき、伝送劣化の原因となる。そのため、波長多重伝送に適用する場合は、波長分散値と分散スロープを同時に補償できるものを用いると好ましい。また、用途によっては分散スロープのみを補償するものを用いることもできる。

【0027】

そして、光信号の入射側に本発明の光ファイバを配置し、その光信号の出射側に分散補償光ファイバを配置することにより、入射側の光ファイバを伝送することによって蓄積された波長分散値、あるいは分散スロープが、出射側の比較的短い長さの分散補償光ファイバにて打ち消されて補償される。その結果、これらの光ファイバを合成した状態（光ファイバと分散補償光ファイバとを組み合わせた

状態)での平均波長分散値と分散スロープの一方、あるいは両方が小さくなり、波長分散に起因する伝送劣化を抑制することができる。

また、本発明の光ファイバは、 $A_e f_f$ が大きく、非線形効果に起因する伝送劣化が抑制できるので、結果として伝送特性が非常に良好な光伝送システムが構築できる。

【0028】

分散補償光ファイバは、本発明の光ファイバの波長分散値と分散スロープのどちらか一方、あるいは両方を補償できるものであれば特に限定しないが、本発明者らが特願平11-147301号にて提案したものなどを例示することができる。

この分散補償光ファイバは、図1に示したものと同様の屈折率分布形状を有し、その構造パラメータを調整して分散補償光ファイバとしての特性を付与したものである。構造パラメータは、補償対象とする光ファイバの波長分散値、あるいは分散スロープによって適宜調整される。

この分散補償光ファイバも、本発明の光ファイバと同様に、VAD法などによって製造することができる。また、各層の構成材料も、本発明の光ファイバと同様のものを用いることができる。

【0029】

また、伝送路の大部分を構成する光ファイバと分散補償光ファイバとを組み合わせたときに、実際の使用長さにおける光ファイバの分散スロープの絶対値に対する、使用長さにおける分散補償光ファイバの分散スロープの絶対値の割合を分散スロープの補償率という。なお、単位長さ当たりの分散スロープに、使用長さを掛け合わせると、使用長さにおける分散スロープが算出できる。

この光伝送システムにおいては、この分散スロープの補償率が80%以上であるように、光ファイバの使用長さと、分散補償光ファイバの特性および使用長さを設定すると好ましい。

光伝送システムの平均波長分散値は小さい程好ましく、本発明の光ファイバを用いたシステムにおいては、適切な分散補償光ファイバと、その使用長さを選択して組み合わせることによって、 $-6 \sim +6 \text{ ps/km/nm}$ の範囲のものが得

られる。

【0030】

【実施例】

以下、本発明を実施例を示して詳しく説明する。

(実施例1)

VAD法により、図1に示した屈折率分布形状を有する光ファイバを製造した。中心コア部はゲルマニウム添加石英ガラスから構成し、中間部はフッ素添加石英ガラス、クラッドは純石英ガラスから構成した。

この光ファイバにおいて、 Δ_1 、 Δ_2 は、それぞれ0.20%、-0.05%であった。また、 r_1 、 r_2 はそれぞれ、8.1 μm 、32.4 μm 、クラッドの外径は約125 μm であった。

表1にこの光ファイバの特性を示した。なお、各特性値は1.55 μm における測定値である。また、カットオフ波長は2m法における測定値である。

【0031】

【表1】

No	$\Delta 1$	$\Delta 2$	r1:r2	波長 波長 (μ n)	カットオフ 波長 (μ n)	A_{eff} (μ m ²)	MFD (μ m)	曲げ損失 (dB/m) 2R=20mm	波長分散 (ps/nm/km)	分散スローフ (ps/nm ² /km)
1	0.20	-0.05	1:4.0	1.550	1.7	181	14.6	17.8	+21.2	+0.063

【0032】

(実施例2)

VAD法により、図3に示した屈折率分布形状を有する光ファイバを製造した

。中心コア部とリングコア部はゲルマニウム添加石英ガラスから構成し、中間部はフッ素添加石英ガラス、クラッドは純石英ガラスから構成した。

この光ファイバにおいて、 Δ_1 、 Δ_2 、 Δ_3 は、それぞれ0.28%、-0.05%、+0.13%であった。また、 r_1 、 r_2 、 r_3 はそれぞれ、7.75 μ m、26.35 μ m、31 μ m、クラッドの外径は約125 μ mであった。

表2にこの光ファイバの特性を示した。なお、各特性値は1.55 μ mにおける測定値である。また、カットオフ波長は2m法における測定値である。

【0033】

【表2】

No	$\Delta 1$	$\Delta 2$	$\Delta 3$	$r1:r2:r3$	波長 (μ m)	コア 半径 (μ m)	カットオフ 波長 (μ m)	A_{eff} (μ m ²)	MFD (μ m)	曲げ損失 (dB/m) $2R=20\text{mm}$	波長分散 (ps/nm/km)	分散スローフ (ps/nm ² /km)
1	0.28	-0.05	0.13	1:3.4:4.0	1.550	31	1.59	156	13.5	4.0	+21.2	+0.064

【0034】

(比較例1)

高屈折率のコアの周囲に低屈折率のクラッドが設けられたステップ型の屈折率分布形状を有する光ファイバを製造した。コアはゲルマニウム添加石英ガラスから構成し、クラッドは純石英ガラスから構成した。

この光ファイバにおいて、クラッドの屈折率を基準にしたときのコアの比屈折率差は0.34%、コア半径は4.8μm、クラッドの外径は約125μmであった。

この光ファイバの1.55μmにおけるAeffの測定値は約88μm²、曲げ損失は5dB/m、2m法におけるカットオフ波長は1.37μmであった。

【0035】

上述の結果より、本発明に係る実施例1、2の光ファイバにおいては、Aeffを十分に拡大することができ、また、曲げ損失が小さく、1.55μmにおいてシングルモード伝搬可能なカットオフ波長を有していることが確認できた。

そして、比較例1の光ファイバよりもAeffを拡大することができ、非線形効果を抑制できることが明らかとなった。

【0036】

(実施例3)

実施例1の光ファイバと、この光ファイバの波長分散値と分散スロープを補償する分散補償光ファイバを作製し、前記光ファイバの光信号の出射側に分散補償光ファイバを接続して光伝送システムを構築した。このとき、実施例1の光ファイバは30.9km、分散補償光ファイバは5.0kmであり、伝送路の合計は35.9kmとした。

分散補償光ファイバは、図1に示したものと同様の屈折率分布形状を有し、その構造パラメータを調整することによって、実施例1の光ファイバと異なる符号の波長分散値と分散スロープを有するものを用いた。構成材料と製造方法は実施例1と同様とした。

分散補償光ファイバの構造パラメータと特性、および分散スロープの補償率を表3にあわせて示した。

【0037】

【表3】

Δ_1 (%)	Δ_2 (%)	r_2 (μ m)	r_2/r_1	使用波長 (μ m)	伝送損失 (dB/km)	波長分散 (ps/nm/km)	分散スローパー [°] (ps/nm ² /km)	分散スロープの 補償率 (%)	曲げ損失 (dB/m) 2R=20mm
2.3	-0.45	3.7	3.5	1.55	0.48	-131	-0.36	92.5	5

【0038】

実施例1の光ファイバと分散補償光ファイバとを合成した状態の伝送路の平均

波長分散値は $1.55 \mu\text{m}$ において、ほぼゼロであり、残存した分散スロープは、伝送路全長で $+0.147 \text{ ps/nm}^2$ であり、長さ当たりに換算すると、 $+0.004 \text{ ps/km/nm}^2$ であり、非常に小さな分散スロープが得られた。

よって、光信号の入射側に本発明に係る実施例1の光ファイバが用いられており、この光ファイバは A_{eff} が大きいため、非線形効果による伝送劣化がほとんどなく、かつ、出射側で波長分散値と分散スロープが補償されているため、分散特性に起因する伝送特性の劣化もなく、非常に良好な伝送特性を有する光伝送システムが得られた。

【0039】

【発明の効果】

以上説明したように本発明においては、比較的簡単な構造の屈折率分布形状を有する光ファイバにおいて、その構造パラメータを調整することによって、 A_{eff} を拡大し、かつ $1.53 \sim 1.61 \mu\text{m}$ から選択される使用波長帯においてシングルモード伝搬可能となるカットオフ波長を有する光ファイバを、低コストで提供することができる。また、曲げ損失を用途に応じた値に低減することができる。

その結果、 $1.53 \sim 1.61 \mu\text{m}$ から選択される使用波長帯において、非線形効果を抑制して伝送損失の劣化を防ぐことができるとともに、敷設時などに光ファイバに付与されるマイクロバンドによっても伝送損失が劣化しにくく、かつシングルモード伝搬を保証できる光ファイバを提供することができる。

さらに、本発明の光ファイバと分散補償光ファイバとを組み合わせることにより、非線形効果と分散特性に起因する伝送劣化を抑制し、伝送特性が良好な光伝送システムを構築することができる。

【図面の簡単な説明】

【図1】 本発明の光ファイバの屈折率分布形状の第1の例を示したグラフである。

【図2】 図1に示した構造パラメータを変化させたときの、2m法によるカットオフ波長と、使用波長 $1.55 \mu\text{m}$ における A_{eff} および曲げ損失との関係の一例を示したグラフである。

【図3】 本発明の光ファイバの屈折率分布形状の第2の例を示したグラフである。

【符号の説明】

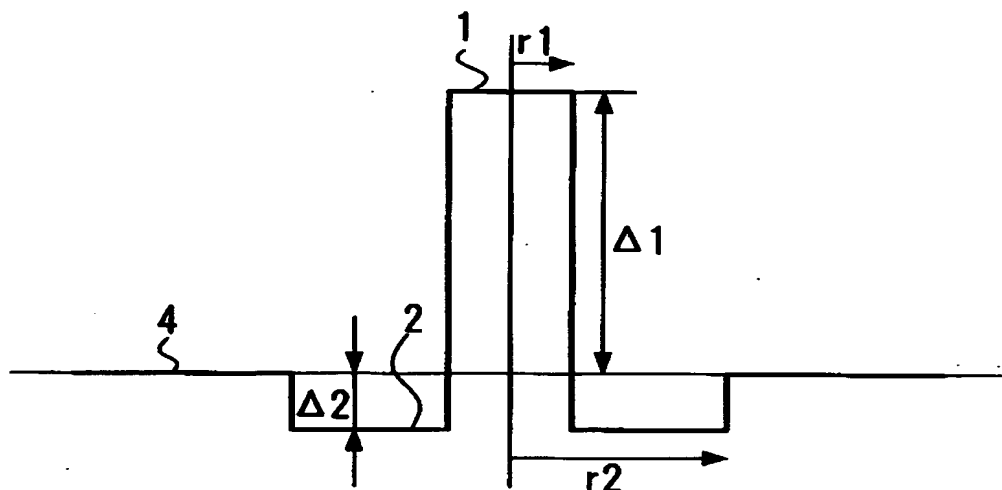
1 … 中心コア部、 2 … 中間部、 3 … リングコア部、 4 … クラッド

r_1 … 中心コア部の半径、 r_2 … 中間部の半径、 r_3 … リングコア部の半径、

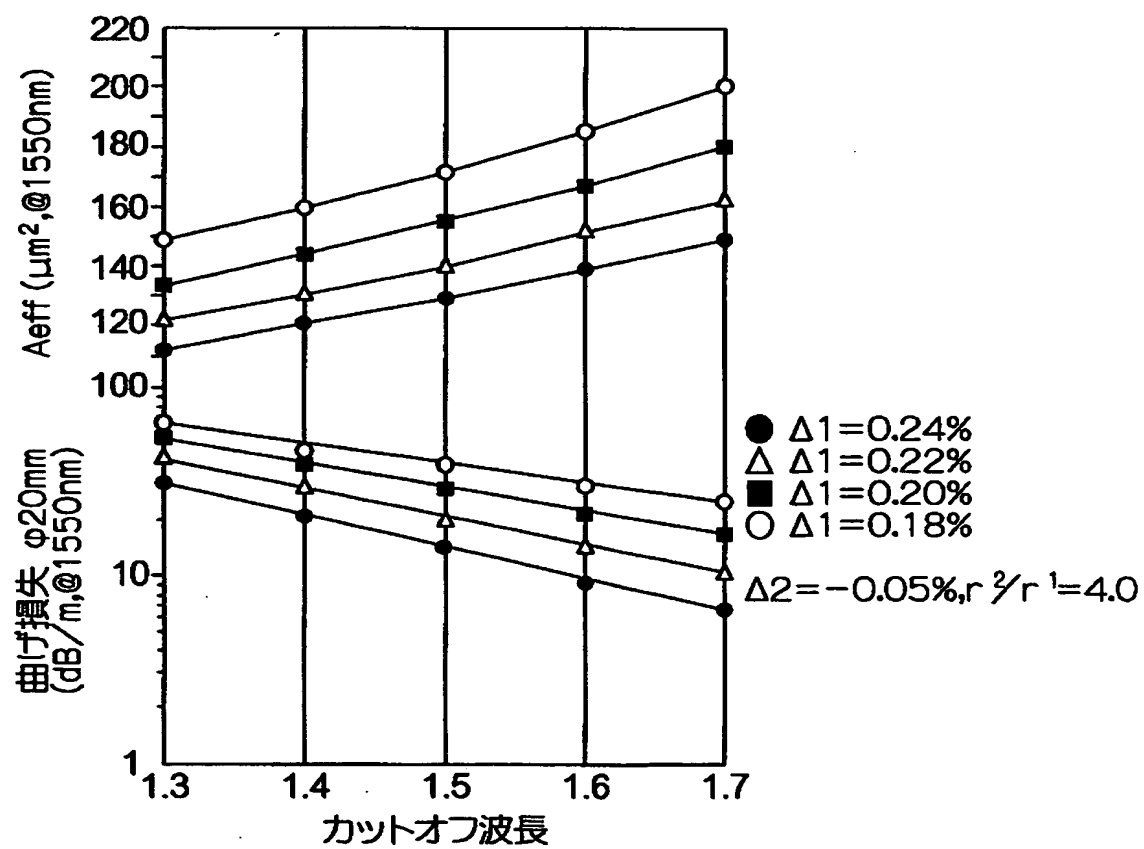
Δ_1 … 中心コア部の屈折率、 Δ_2 … 中間部の屈折率、 Δ_3 … リングコア部の屈折率。

【書類名】 図面

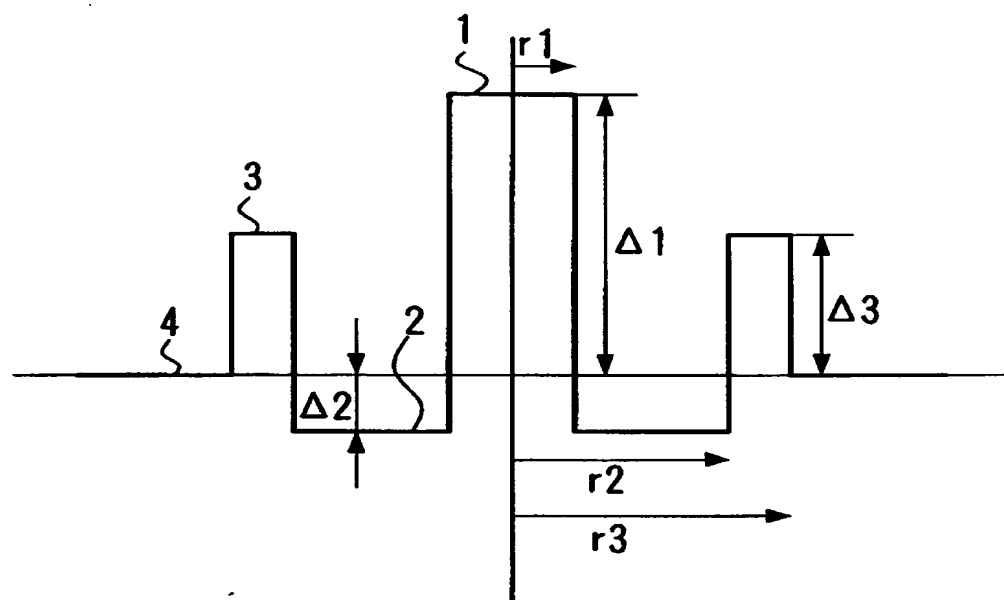
【図1】



【図2】



【図3】



【書類名】 要約書

【要約】

【課題】 1. $53 \sim 1.61 \mu m$ から選択される使用波長帯において、 $A_e f_f$ の拡大を図ることができ、比較的簡単な屈折率分布形状を有し、低成本で製造可能な光ファイバを提供する。

【解決手段】 中心コア部1と、その外周上に設けられた該中心コア部2よりも低屈折率の中間部2と、該中間部2の周囲に設けられた該中間部2よりも高屈折率で、前記中心コア部1よりも低屈折率のクラッド4とを有する屈折率分布形状を備え、 $1.53 \sim 1.61 \mu m$ から選択される使用波長帯において、有効コア断面積が $140 \mu m^2$ 以上であり、かつ前記使用波長帯において、実質的にシングルモード伝搬可能なカットオフ波長を有することを特徴とする光ファイバを構成する。

【選択図】 図1

出願人履歴情報

識別番号 [000005186]

1. 変更年月日 1992年10月 2日

[変更理由] 名称変更

住 所 東京都江東区木場1丁目5番1号

氏 名 株式会社フジクラ